1. Semaine 6b. Moment de flexion et axe neutre

Question 1 - Comparer deux poutres avec différentes sections

Deux poutres avec des sections différentes sont illustrées sur la **Figure 1.1**. Calculer :

- **Le moment d'inertie** (I_{z,y_0}) . Attention à l'axe!
- Le module de section S.
- L'aire de la section transversale et le rapport $\frac{S}{A}$ pour les dimensions suivantes
- Quelle poutre est plus efficace (meilleur S/A). pourquoi?

$$cas\ A:\ b=30\ cm$$
 , $d=40\ cm$, $b_1=6\ cm$, $d_1=32\ cm$ $cas\ B:\ b=40\ cm$, $d=30\ cm$, $b_1=32\ cm$, $d_1=6\ cm$

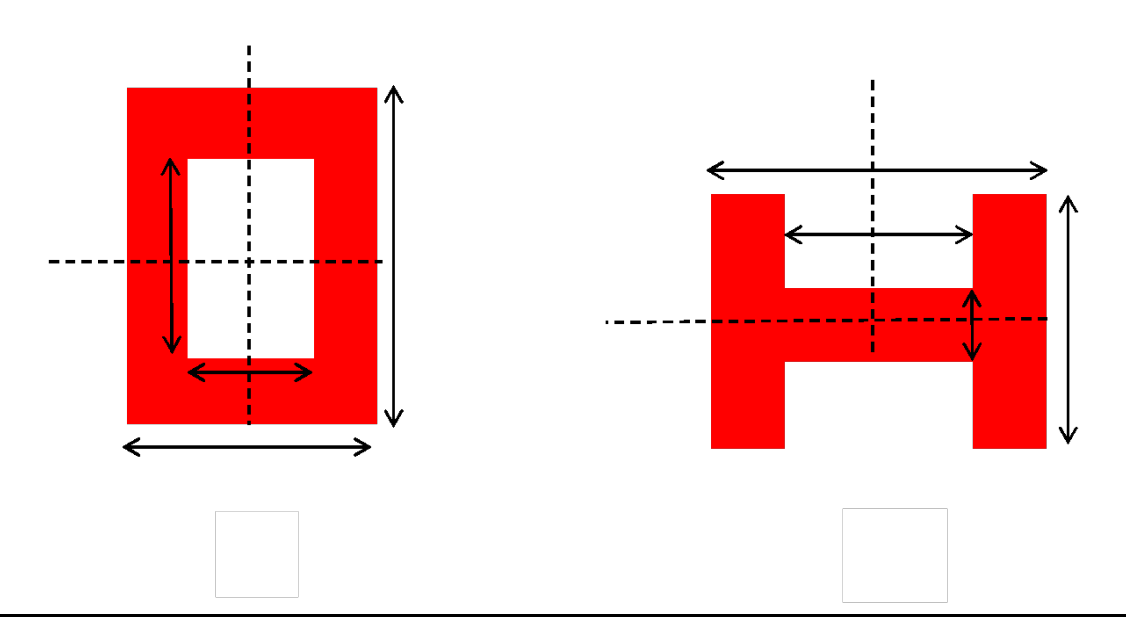


Figure 6b.1 | Sections transversales des poutres

Solution

Ce qui est donné?

Les dimensions de la section.

Hypothèses

Le matériau est homogène et isotrope.

Ce qui est demandé?

Le moment d'inertie (I_{z,y_0}) autour de l'axe horizontal z et de l'axe neuter y_0

Le module de section S

L'air de la coupe transversale A et $\frac{S}{A}$

Principes et formules

Le moment d'inertie I_{z,y_0} d'une aire A par rapport à un axe y arbitraire est :

$$I_{z,y_0} = \iint_A^{\square} (y - y_0)^2 \, dy \, dz \tag{1.1}$$

Pour la section transversale (A), la poutre à section transversale de forme creuse est constituée de 2 composantes, un cadre rectangulaire et une région creuse rectangulaire. Par conséquent, le moment d'inertie sera égal à la différence entre le cadre rectangulaire et la région creuse rectangulaire. Le moment d'inertie est :

$$I_A = I_1 - I_2 = \iint_{A_1}^{\square} y^2 \, dy \, dz - \iint_{A_2}^{\square} y^2 \, dy \, dz$$
 (1.2)

Où A_1 fait référence à l'aire totale du cadre rectangulaire plus la région creuse rectangulaire et A_2 à l'aire de la région creuse rectangulaire (voir la **Figure 1.2** pour les schémas des aires).

$$I_{(A)} = \int_{-\frac{d}{2}}^{\frac{d}{2}} \left(\int_{-\frac{b}{2}}^{\frac{b}{2}} dz \right) y^{2} dy - \int_{-\frac{d_{1}}{2}}^{\frac{d_{1}}{2}} \left(\int_{-\frac{b_{1}}{2}}^{\frac{b_{1}}{2}} dz \right) y^{2} dy$$

$$I_{(A)} = \frac{bd^{3}}{12} - \frac{b_{1}d_{1}^{3}}{12} = \frac{bd^{3} - b_{1}d_{1}^{3}}{12}$$

$$(1.3)$$

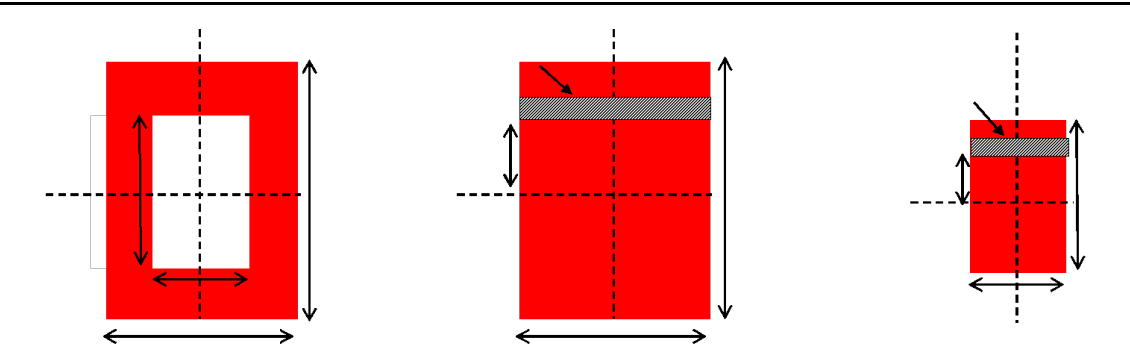


Figure 1.2| Diagramme des aires pour la poutre de section transversale A. Section pleine d'aire A_1 et section « vide » d'aire A_2

Pour **la poutre de section transversale (B)** il est possible de procéder soit par addition, soit par soustraction des aires.

Pour l'addition des aires, la poutre est divisée en 3 composantes illustrés sur la Figure 1.3 :

$$I_{(B)} = I_1 + I_2 + I_3 = \iint_{A_1}^{\square} y^2 \, dy \, dz + \iint_{A_2}^{\square} y^2 \, dy \, dz + \iint_{A_3}^{\square} y^2 \, dy \, dz$$
 (1.4)

Placer d'abord les limites de l'intégration :

$$I_{(B)} = \int_{-\frac{d}{2}}^{\frac{d}{2}} \left(\int_{-\frac{b}{2}}^{-\frac{b_1}{2}} dz \right) y^2 dy + \int_{-\frac{d_1}{2}}^{\frac{d}{2}} \left(\int_{-\frac{b_1}{2}}^{\frac{b_1}{2}} dz \right) y^2 dy + \int_{-\frac{d}{2}}^{\frac{d}{2}} \left(\int_{\frac{b_1}{2}}^{\frac{b}{2}} dz \right) y^2 dy$$
 (1.5)

Puis intégrer les termes en z et y :

$$I_{(B)} = \int_{\frac{-d}{2}}^{\frac{d}{2}} \frac{b - b_1}{2} y^2 dy + \int_{\frac{-d_1}{2}}^{\frac{d_1}{2}} b_1 y^2 dy + \int_{\frac{-d}{2}}^{\frac{d}{2}} \frac{b - b_1}{2} y^2 dy$$
 (1.6)

$$I_{(B)} = \frac{(b - b_1)d^3}{24} + \left(\frac{b_1d_1^3}{12}\right) + \frac{(b - b_1)d^3}{24} = \frac{b_1d_1^3 + (b - b_1)d^3}{12}$$
(1.7)

Pour la soustraction des aires, la poutre est divisée en 3 composantes illustrés sur la Figure 1.x:

$$I_{(B)} = I_4 - I_5 - I_6 = \iint_{A_4}^{\square} y^2 \, dy \, dz - \iint_{A_5}^{\square} y^2 \, dy \, dz - \iint_{A_6}^{\square} y^2 \, dy \, dz$$
 (1.4)

Placer d'abord les limites de l'intégration :

$$I_{(B)} = \int_{-\frac{d}{2}}^{\frac{d}{2}} \left(\int_{-\frac{b}{2}}^{\frac{b}{2}} dz \right) y^2 dy - \int_{\frac{d}{2}}^{\frac{d}{2}} \left(\int_{-\frac{b_1}{2}}^{\frac{b_1}{2}} dz \right) y^2 dy - \int_{-\frac{d}{2}}^{-\frac{d}{2}} \left(\int_{-\frac{b_1}{2}}^{\frac{b_1}{2}} dz \right) y^2 dy$$
 (1.5)

Puis intégrer les termes en z et y (on remarque par symétrie que $I_2 = I_3$):

$$I_{(B)} = \int_{\frac{-d}{2}}^{\frac{d}{2}} b \, y^2 \, dy - 2 \int_{\frac{d_1}{2}}^{\frac{d_{11}}{2}} b_1 \, y^2 \, dy \tag{1.6}$$

$$I_{(B)} = \frac{bd^3}{12} - 2\left(\frac{b_1d_{11}^3}{24} - \frac{b_1d_1^3}{24}\right) = \frac{b_1d_1^3 + (b - b_1)d^3}{12}$$
(1.7)

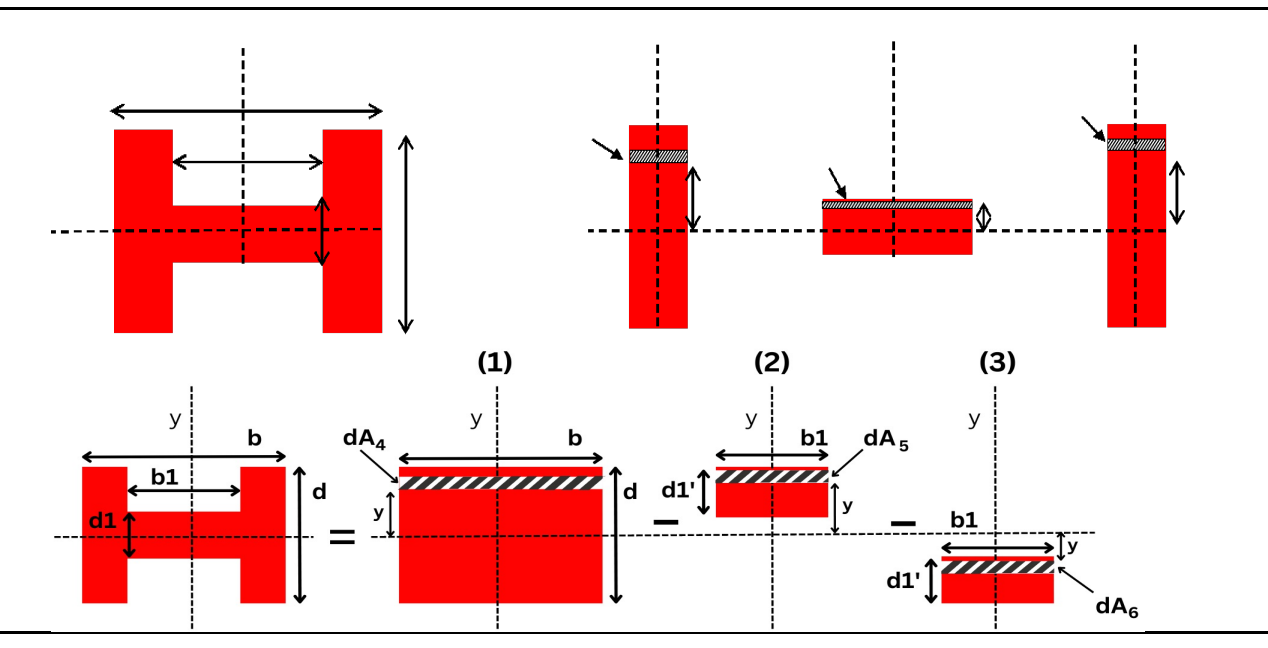


Figure 1.3| Diagrammes des aires pour la poutre de section transversale A pour l'addition et la soustraction des aires

Nous appliquons la définition du module de section :

$$S = \frac{I_{z,y_0}}{c} \tag{1.8}$$

Avec c étant la distance maximale à l'axe neutre. Comme dans toutes les coupes transversales de l'exercice, les coupes sont symétriques ($c = \frac{d}{2}$) et ainsi :

$$S = 2\frac{I_{z,y_0}}{d} {(1.9)}$$

$$S_A = \frac{bd^2 - \frac{b_1d_1^3}{d}}{6} \tag{1.10}$$

(B)

$$S_B = \frac{\frac{b_1 d_1^3}{d} + (b - b_1)d^2}{6} \tag{1.11}$$

(A) de l'Eq. (1.10):

$$A = b \cdot d - b_1 d_1 = (30)(40) - (6)(32) = 1.00 * 10^3 cm^2$$
 (1.12)

$$S_A = \frac{(30)(40)^2 - (6)(32)^3/40}{6} = 7.18 * 10^3 cm^3$$
 (1.13)

$$\frac{S_A}{A_{(A)}} = 7.18 \, cm \tag{1.14}$$

(B) de l'Eq. (1.11)

$$S_B = \frac{(32)(6)^3/30 + (40 - 32)(30)^2}{6} = 1.24 * 10^3 cm^3$$
 (1.15)

$$A = b_1 d_1 + d(b - b_1) = (6)(32) + (30)(40 - 32) = 0.43 * 10^3 cm^2$$
 (1.16)

$$\frac{S_B}{A_{(B)}} = 2.88 \, cm \tag{1.17}$$

$$\frac{S_A}{A_{(A)}} > \frac{S_B}{A_{(B)}} \tag{1.18}$$

Rappel:

$$|\sigma_{x, max}(x)| = \frac{|M_Z(x)|}{I_{Z, y_0}} c = \frac{|M_Z(x)|}{S}$$

Donc plus S est grand, plus la contrainte sera petite pour un moment interne donnée. Mais on souhaite utiliser le moins de matériau possible pour réaliser la poutre : c'est -à-dire qu'on aimerait une section *A* qui soit la plus petite possible. D'où l'intérêt de calculer non seulement S, mais aussi S/A.

La poutre de section transversale (A) est la plus efficace des 2 sections transversales par rapport au module de section pour un même volume de matériau.

La section en forme de « I » n'est pas très efficace pour une flexion selon l'axe z, mais serait fort efficace pour une flexion selon l'axe y (car beaucoup de matériau serait alors loin de l'axe). Comparez à la question 3, ou le « I » est tourné de 90°.

Question 2 - Flexion d'une poutre avec une section triangulaire

Une poutre encastrée AB de section triangulaire a une longueur $L=2\,m$, une largeur $b=40\,mm$ et une hauteur $h=50\,mm$ (voir **Figure 2.1**). La poutre est en laiton. La densité est $\gamma=8000\,kg/m^3$.

Attention, pour cet exercice, le poids de la poutre n'est pas négligé.

- Calculez les forces de réaction et le moment dus au poids de la poutre.
- Calculez puis dessinez les forces de cisaillement le long de la poutre
- Calculez puis dessinez le moment de flexion le long de la poutre
- Trouvez l'axe neutre
- Calculer les contraintes normales maximales en compression σ_{cmax} et en traction σ_{tmax} dus au poids de la poutre.

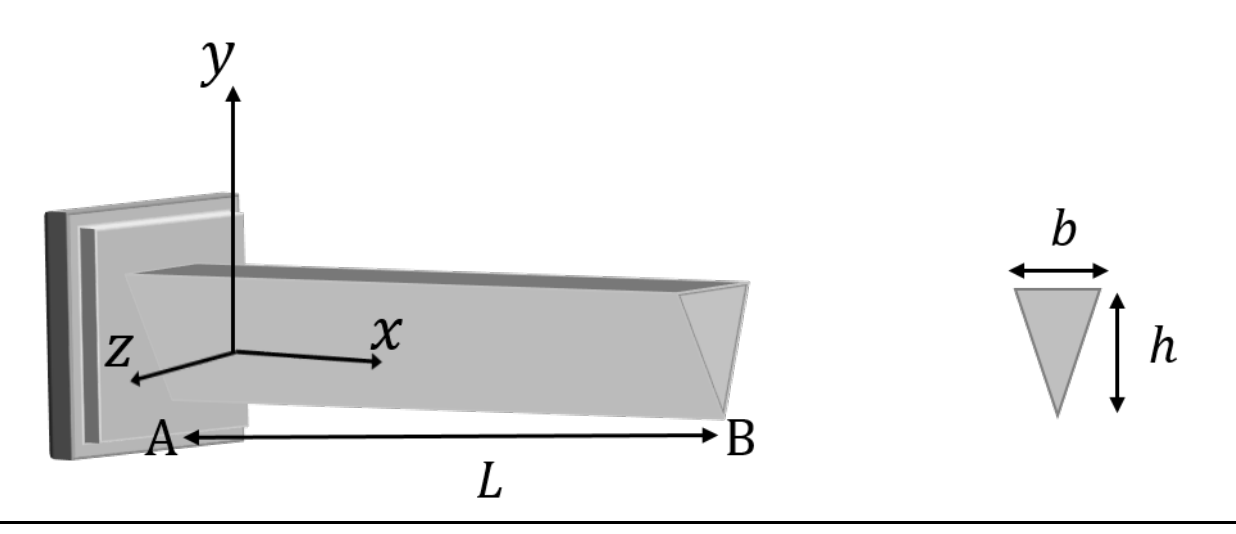


Figure 2.1 | Une poutre en porte-à-faux avec une section transversale triangulaire

Solution

Ce qui est donné:

• $L = 2000 \, mm$

• $b = 40 \, mm$

• $h = 50 \, mm$

 $\bullet \quad \gamma = 8000 \frac{kg}{m^3} \ soit \ 80 \frac{kN}{m^3}$

<u>Hypothèses</u>

Le matériau est homogène et isotrope.

Ce qui est demandé:

- Valeur des forces et moments de réaction
- Diagramme des forces de cisaillement
- Diagramme du moment de flexion
- Contrainte de compression maximale σ_{cmax} et contrainte de traction maximale σ_{tmax} dans la poutre dus à son propre poids

Principes et formules

Force de réaction aux points A et B et moment au point A

Nous calculons les forces de réaction à partir du diagramme du corps libre de l'ensemble de la poutre illustré sur la **Figure** 2.**2**.

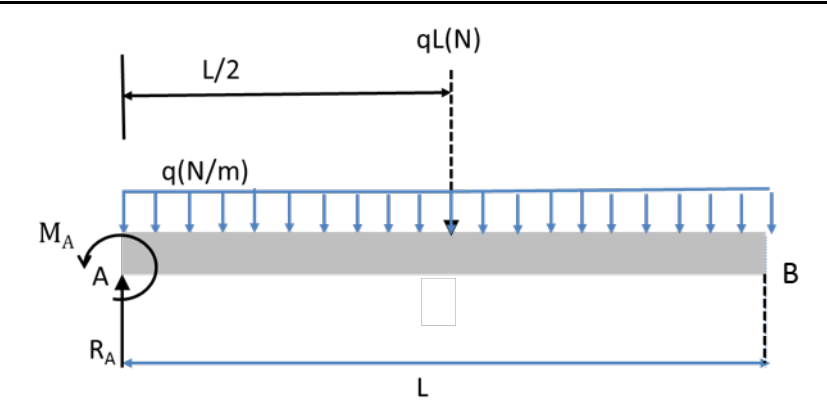


Figure 2.2 | Diagramme des forces

Le poids de la poutre agit uniformément sur la longueur de la poutre, nous pouvons donc la décrire par une charge répartie q qui est définie comme :

$$q = \gamma A = \frac{\gamma bh}{2} \tag{2.1}$$

L'équilibre des forces en y donne :

$$\Sigma F_y = 0 \implies R_{A,y} - \int_0^L q \, dx = R_{A,y} - \frac{\gamma b h L}{2} = 0$$
 (2.2)

$$R_{A,y} = \frac{\gamma bhL}{2} = 160 \, N \tag{2.3}$$

A partir de l'équilibre du moment M_z autour de A, on obtient le moment de réaction M_A :

$$\Sigma M_z = 0 \implies M_A - \int_0^L q \cdot x \, dx = M_A - \frac{\gamma b h L^2}{4} = 0 \tag{2.4}$$

Ce qui nous donne :

$$R_A = qL = 160 \text{ N et } M_A = \frac{qL^2}{2} = 160 \text{ N} \cdot m$$
 (2.5)

Diagramme des forces de cisaillement

En x(A), la force de cisaillement est calculée par (rappelez-vous que la force de cisaillement V est positive pointant vers le bas pour la coupe de gauche) :

$$R_A - V(x=0) = 0 \rightarrow V(x=0) = 160 N$$
 (2.6)

De x(A) vers x(B),

$$V(x) = R_A - qx = \left(160 N - 80 \frac{N}{m} \cdot x\right)$$
 (2.7a)

On peut aussi utiliser la relation différentielle $V(x) = \int_{\Box}^{\Box} q(x)$:-

$$V(x) = \int_0^x -q \ dx' + V(x=0) = \left(160 N - 80 \frac{N}{m} \cdot x\right)$$
 (2.7b)

En utilisant ces valeurs, nous dessinons le diagramme des forces de cisaillement :

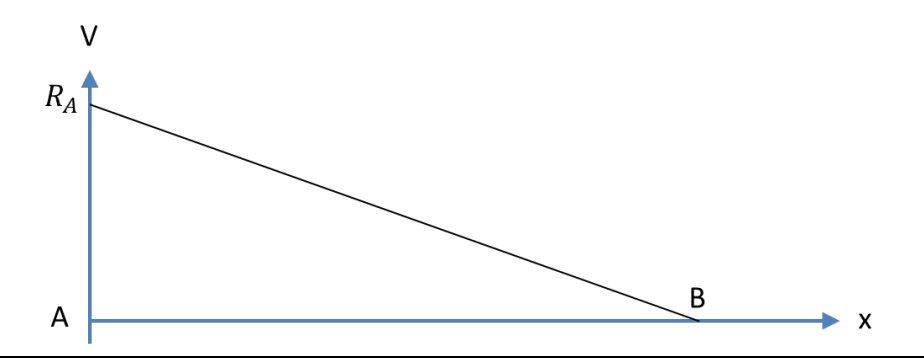


Figure 2.3 | Diagramme de la force de cisaillement

Diagramme du moment de flexion

Nous savons que:

$$\frac{\partial M(x)}{\partial x} = V(x) \tag{2.8}$$

$$\int_0^x dM = \int_0^x V(x') \, dx' = \int_0^x (R_A - qx') \, dx' \tag{2.9}$$

$$M(x) - M(x = 0^+) = R_A x - \frac{qx^2}{2} \to M(x) = -M_A + R_A x - \frac{qx^2}{2}$$
 (2.10a)

Il est également possible d'utiliser la méthode des sections. En utilisant la partie de droite avec M(x = L) = 0 car aucun moment n'est appliqué à droite de la poutre:

$$M(x) - M(x = L) = \int_{x}^{L} q(u - L) du \to M(x) = -\frac{qL^{2}}{2} + qLx - \frac{qx^{2}}{2}$$

$$M(x) = -M_{A} + R_{A}x - \frac{qx^{2}}{2}$$
(2.10b)

En utilisant ces valeurs, nous dessinons le diagramme du moment de flexion.

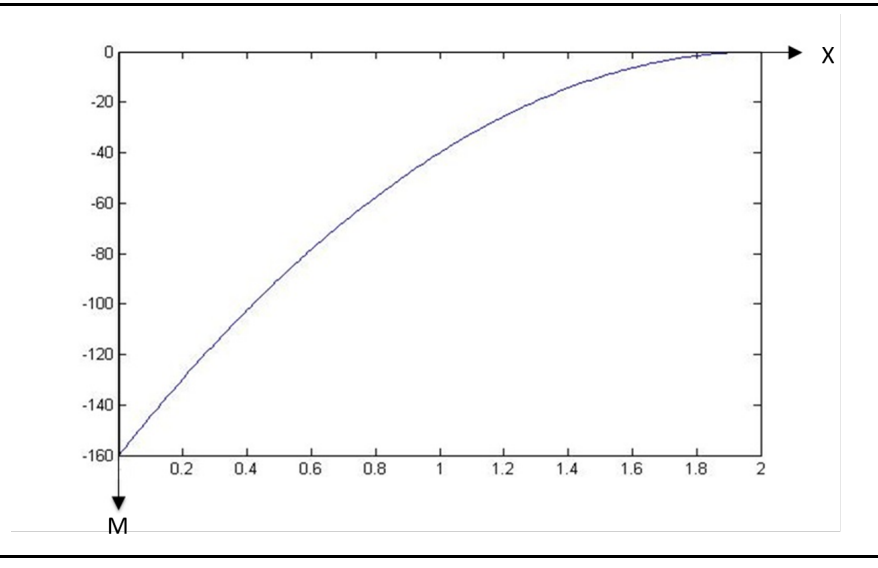


Figure 2.4 | Diagramme du moment de flexion

Contraintes maximales en compression et en traction dues à la flexion

La contrainte interne normale à la section transversale est donnée par :

$$\sigma(x,y) = -\frac{M_{int}}{I_{z,y_0}}(y - y_0)$$
 (2.11)

où y_0 est la position de l'axe neutre. $y_0 = \frac{\int_{triangle}^{\square} y \, dy dz}{\int_{triangle}^{\square} |dy dz|}$.

Nous calculons d'abord la position de l'axe neutre y_0 par rapport à l'origine que nous définissons en bas du triangle (voir **Figure** 2.**5**). Attention, il faut intégrer y sur la surface A de la section triangulaire, et pas sur une surface rectangulaire. Pour effectuer ce calcul, nous devons d'abord déterminer la largeur selon z de la section transversale en fonction de la coordonnée verticale y, et est donnée par l'Eq. (2.**12**), après avoir utilisé la proportionnalité des triangles :

$$b(y) = \frac{b}{h}y\tag{2.12}$$

Pour un y donné z varie de -b(y) à +b(y). Alors y_0 peut être calculé :

$$y_{0} = \frac{\int_{triangle}^{\square} y \, dA}{\int_{triangle}^{\square} \square dA} = \frac{\int_{0}^{h} \left(\int_{-\frac{b(y)}{2}}^{\frac{b(y)}{2}} dz\right) y \, dy}{\int_{0}^{h} \left(\int_{-\frac{b(y)}{2}}^{\frac{b(y)}{2}} dz\right) dy} = \frac{\int_{0}^{h} \left(\int_{-\frac{by}{2h}}^{\frac{by}{2h}} dz\right) y \, dy}{\int_{0}^{h} \left(\int_{-\frac{by}{2h}}^{\frac{by}{2h}} dz\right) dy}$$
$$= \frac{\int_{0}^{h} \frac{by}{h} y \, dy}{\int_{0}^{h} \frac{by}{h} dy} = \frac{h^{3}}{\frac{3}{2}} / \frac{h^{2}}{2}$$
$$= \frac{2}{3}h$$

$$(2.13)$$

Et maintenant, nous pouvons trouver les valeurs maximales de traction et de compression pour chaque position de x, toujours en considérant que $M(x) < 0 \ \forall x$:

$$\sigma_{\max,t}(x) = \frac{M_{\max}}{I_{z,y_0}} \frac{h}{3} \quad \& \quad \sigma_{\max,c}(x) = \frac{M_{\max}}{I_{z,y_0}} \frac{2h}{3}$$
 (2.14)

Afin de trouver le moment quadratique (d'inertie) autour de l'axe Z dans le plan yz nous utilisons la formule :

$$I_{z,y_0} = \iint_A^{\square} (y - y_0)^2 dA = \int_0^h \left(\int_{-\frac{by}{2h}}^{\frac{by}{2h}} dz \right) (y - y_0)^2 dy = \int_0^h \frac{by}{h} (y - y_0)^2 dy$$
 (2.15)

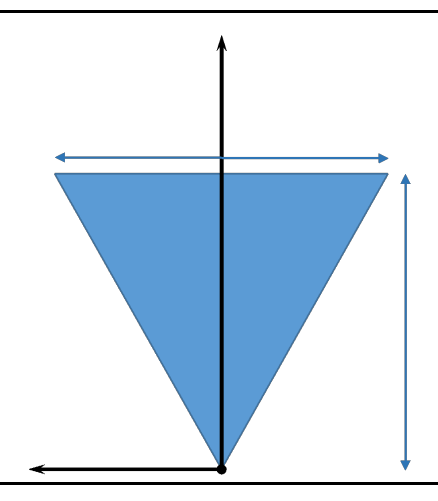


Figure 2.5 | Section triangulaire

$$I_{z,y_0} = \frac{b}{h} \int_0^h y(y - y_0)^2 dy = \frac{b}{h} \int_0^h (y^3 - 2y_0 y^2 + y_0^2 y) dy = \frac{b}{h} \left(\frac{y^4}{4} - \frac{2y_0 y^3}{3} + \frac{y_0^2 y^2}{2} \right)_0^h$$
 (2.16)

$$I_{z,y_0} = \frac{b}{h} \left(\frac{y^4}{4} - \frac{2y_0 y^3}{3} + \frac{y_0^2 y^2}{2} \right)_0^h = \frac{b}{h} \left(\frac{h^4}{4} - \frac{4h^4}{9} + \frac{4h^4}{18} \right)_0^h = \frac{bh^3}{36} (9 - 8) = \frac{bh^3}{36}$$
 (2.17)

$$I_{z,y_0} = \frac{bh^3}{36} = 1.39 \cdot 10^5 \, mm^4 \tag{2.18}$$

En utilisant l'Eq. (2.14) et l'Eq. ((2.18), nous obtenons (avec une distance de c=2/3h et de c=1/3h pour la distance entre l'axe neutre du triangle et les bords supérieur et inférieur de la poutre)

$$\sigma_{max,t} = \frac{M_{max} h}{3I_{z,y_0}} = 19.2 MPa$$
 (2.19)

$$\sigma_{max,c} = \frac{M_{max} 2h}{3I_{z,y_0}} = 38.4 MPa$$
 (2.20)

Question 3 – Charges distribuée et ponctuelle avec M(x) donné

Une poutre simplement supportée est illustrée ci-dessous sur la **Figure** 3.1. Nous allons comparer deux sections, voir **Figure 3.3.**

Nous vous donnons moment de flexion le long de la poutre, voir **Figure** 3.2.

Trouvez:

- La contrainte normale <u>maximale</u> due à la flexion pour les sections A (rectangulaire) et B (en « I »)
- Quelle section est la plus efficace (calculer S/aire)?
 - O Pour la section rectangulaire : b = 30 cm, d = 40 cm
 - O Pour la section en 'I': $b_1 = 6 \, cm$, $d_1 = 32 \, cm$, $b = 30 \, cm$, $d = 40 \, cm$

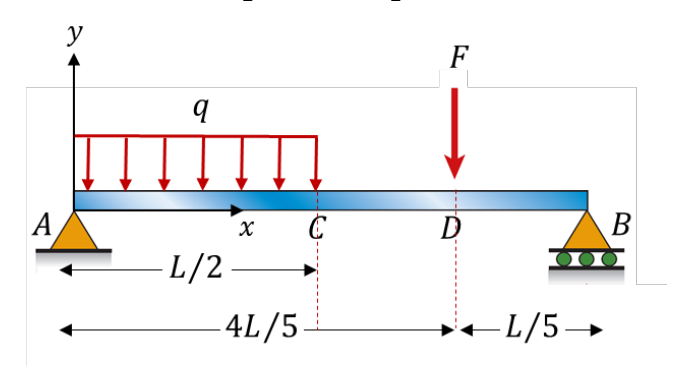


Figure 3.1 | Poutre *AB*. q=20N/m. F=10 N. L=4m

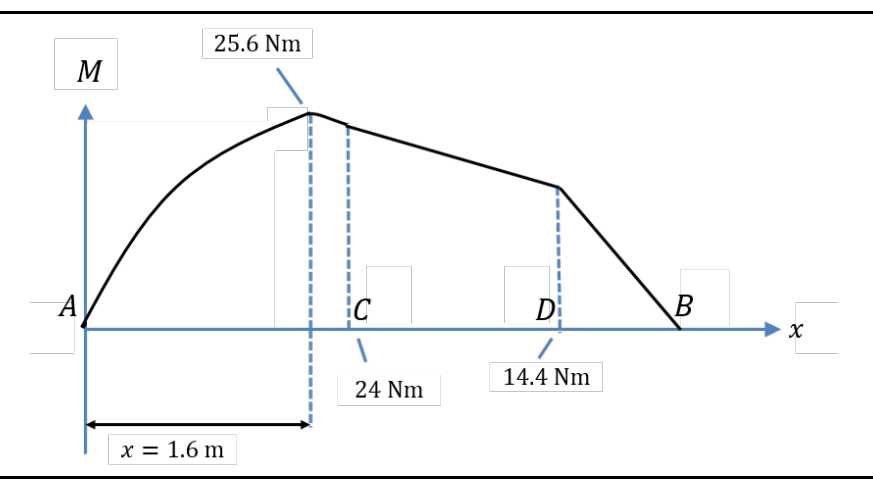


Figure 3.2 | Moment de flexion M(x) le long de la poutre

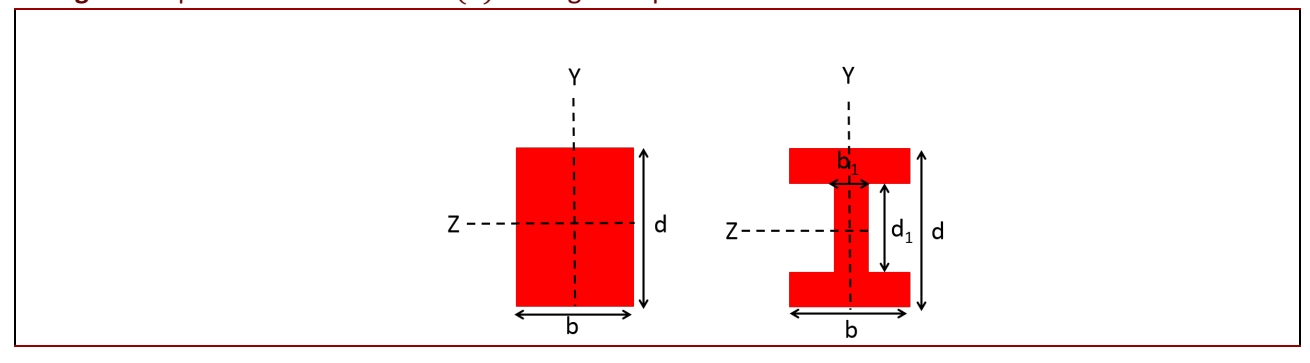


Figure 3.3 | Sections: rectangulaire (A) et en forme de « I » (B).

Ce qui est donné:

$$b = 30 cm$$

 $d = 40 cm$

$$b_1 = 6 cm$$

$$d_1 = 32 cm$$

$$M = 25.6 Nm$$

<u>Hypothèses</u>

Le matériau est homogène et isotrope.

La section de la poutre dans le plan yz n'est pas déformée.

Ce qui est demandé?

- Trouver la contrainte normale maximale due à la flexion dans les deux sections transversales.
- Déterminer quelle section transversale est la plus efficace ? c'est-à-dire : pour un moment de flexion donné, dans la section est-ce que la contrainte sera plus faible ? Donc comparer S = I/c pour les deux sections.

Principes et formules

Pour trouver la contrainte normale maximale, nous commençons par la formule de flexion :

$$\sigma_{x}(x,y) = -\frac{M_{int}}{I_{z,y_0}}(y - y_0)$$
(3.1)

La contrainte normale maximale dans la poutre est située là où le moment de flexion est maximal:

$$\sigma_{max} = \frac{M_{max} c}{I_{z,v_0}} \tag{3.2}$$

où c est la distance maximale entre une surface de la poutre par rapport à l'axe neutre.

Le moment fléchissant maximal M est à x=1.6 m. Vu la géométrie des sections (axe neutre au milieu de la poutre dans les 2 cas), la distance maximale de l'axe neutre est $c=\frac{d}{2}$ pour les deux sections A et B.

La contrainte normale maximale $\sigma_{max,A}$ de la section rectangulaire (A) est :

$$\sigma_{\text{max}_A} = \frac{M \cdot \frac{d}{2}}{I_{z,y_{0}_{A}}} = \frac{M \cdot \frac{d}{2}}{\frac{bd^{3}}{12}} = \frac{6M}{bd^{2}} = 3.20 \ [kPa]$$
 (3.3)

Le moment d'inertie $I_{z,y_{0_B}}$ pour la section transversale "I" est calculé en soustrayant la contribution des 2 régions creuses du moment d'inertie de la section rectangulaire calculé ci-dessus :

$$I_{z,y_{0_B}} = \frac{bd^3}{12} - \frac{(b-b_1)d_1^3}{12}$$
 (3.4)

La contrainte normale maximale $\sigma_{max,B}$ de la section transversale en "I" (B) est:

$$\sigma_{\text{max }_B} = \frac{M \cdot \frac{d}{2}}{I_{z,y_{0,B}}} = 5.42 \ [kPa]$$
 (3.5)

Enfin, nous trouvons que $\sigma_{maxA} < \sigma_{maxB}$. Cela implique que la section (A) est plus efficace que la section (B): pour un moment de flexion donné, la contrainte est plus faible dans la section (A).

Rappel :
$$\left|\sigma_{x, max}(x)\right| = \frac{|M_Z(x)|}{I_{Z,y_0}}c = \frac{|M_Z(x)|}{S}$$
. Ici $S_A > S_B$

Mais pour une comparaison juste, nous devons le rapporter à la masse de la poutre, c'est-à-dire à la section transversale de la poutre

Surface (A) =
$$1200 \text{ cm}^2$$

Surface (B) =
$$432 \text{ cm}^2$$

$$S_A = \frac{I_A}{c} = \frac{bd^2}{6}$$

$$S_B = \frac{I_I}{c} = \frac{bd^3 - (b - b_1)d_1^3}{6d}$$

Pour (A)
$$S_A/Area_A = 0.066 \text{ m}$$

Pour (B)
$$S_B/Area_B = 0.1 m$$

Cela implique que la section (B) est plus efficace (pour une section de poutre, qui est normalisée par le poids de la poutre par unité de longueur).